

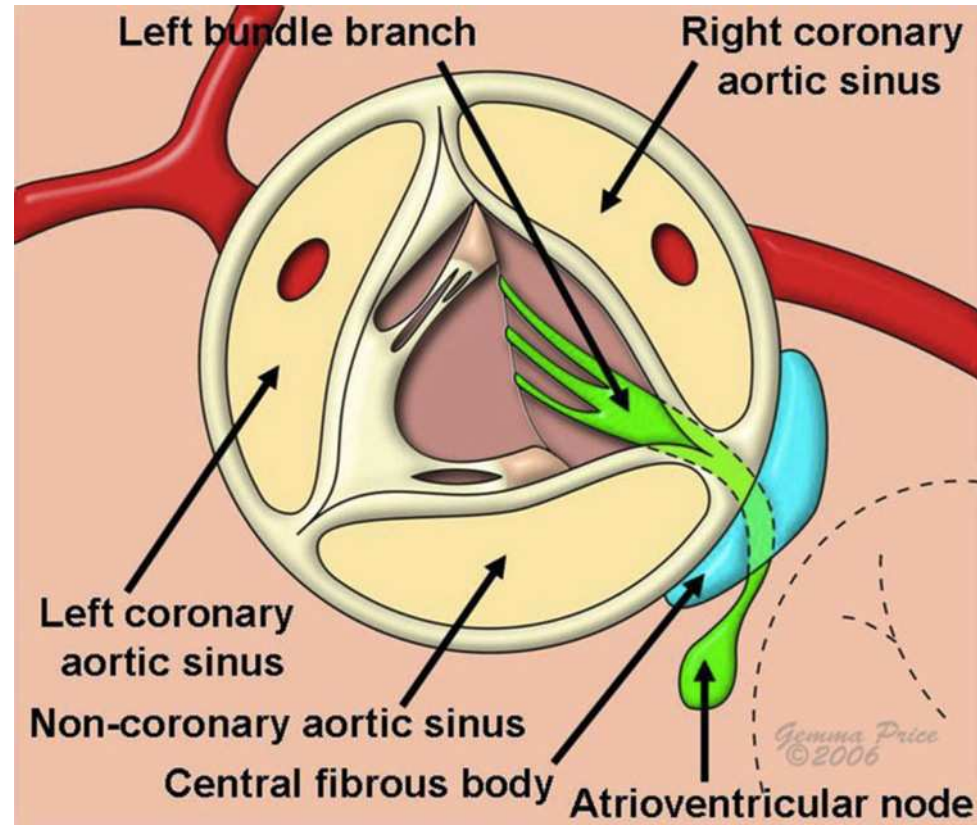
Valve aortique

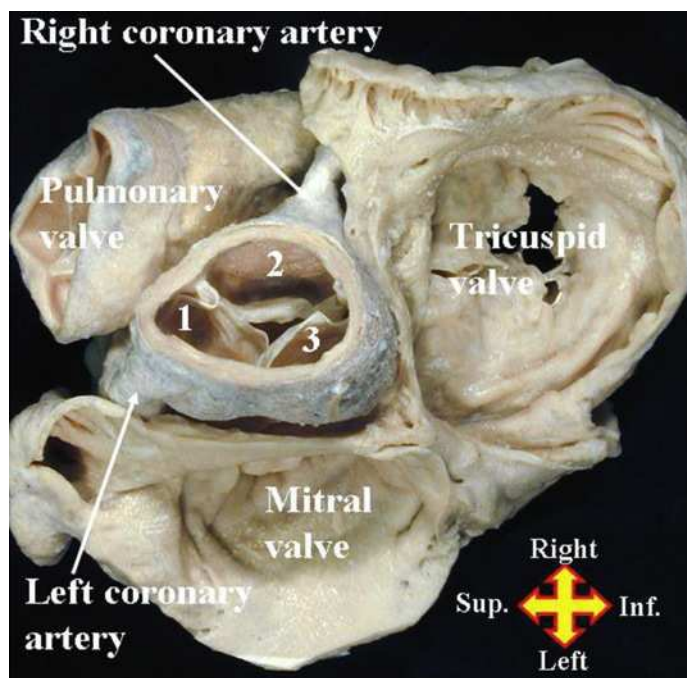
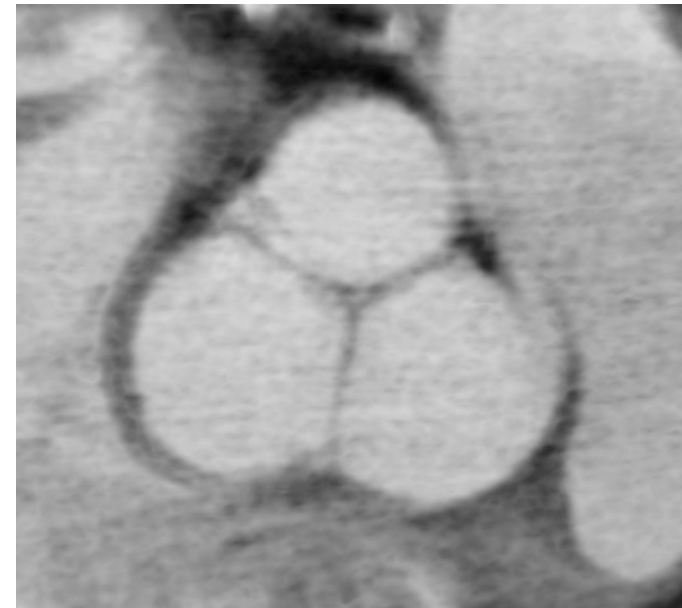
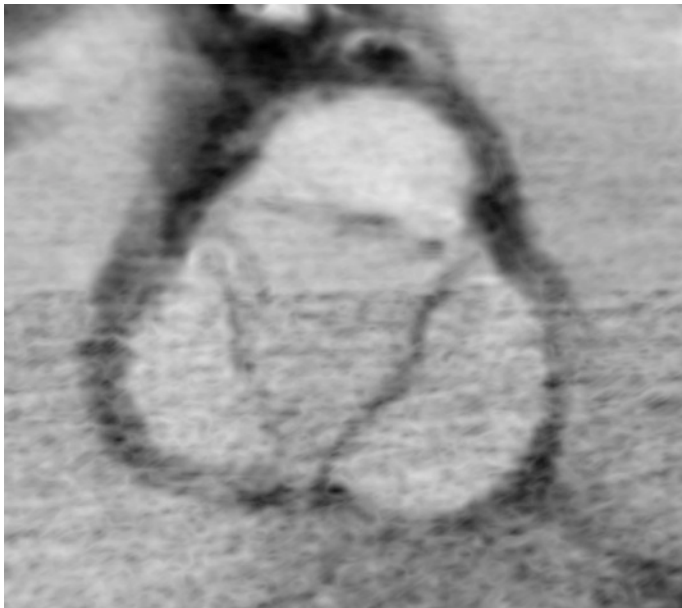
Anatomie, physiologie,
pathologies et traitement

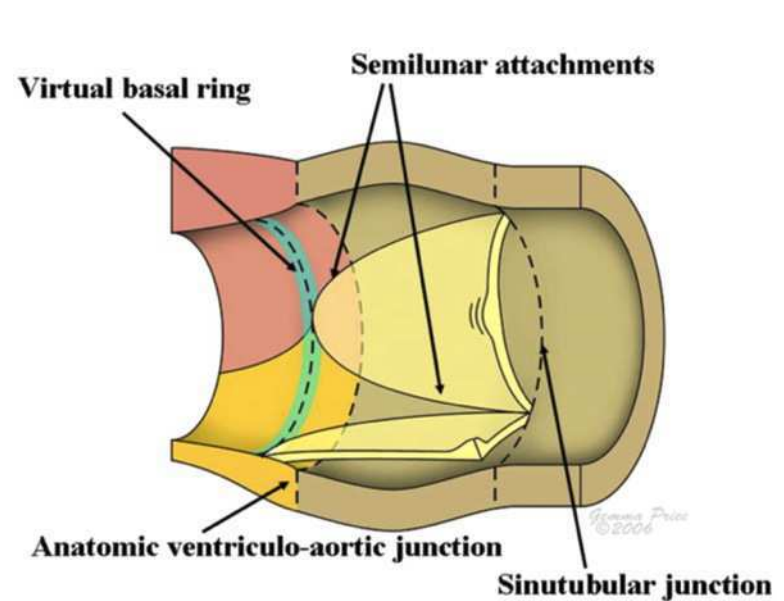
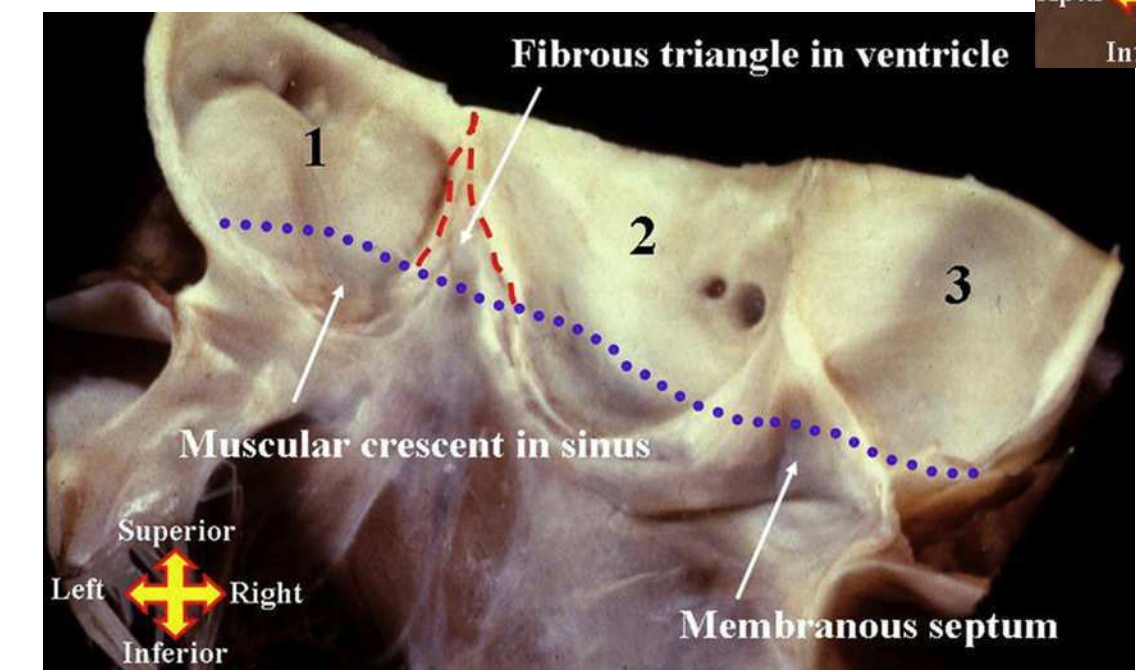
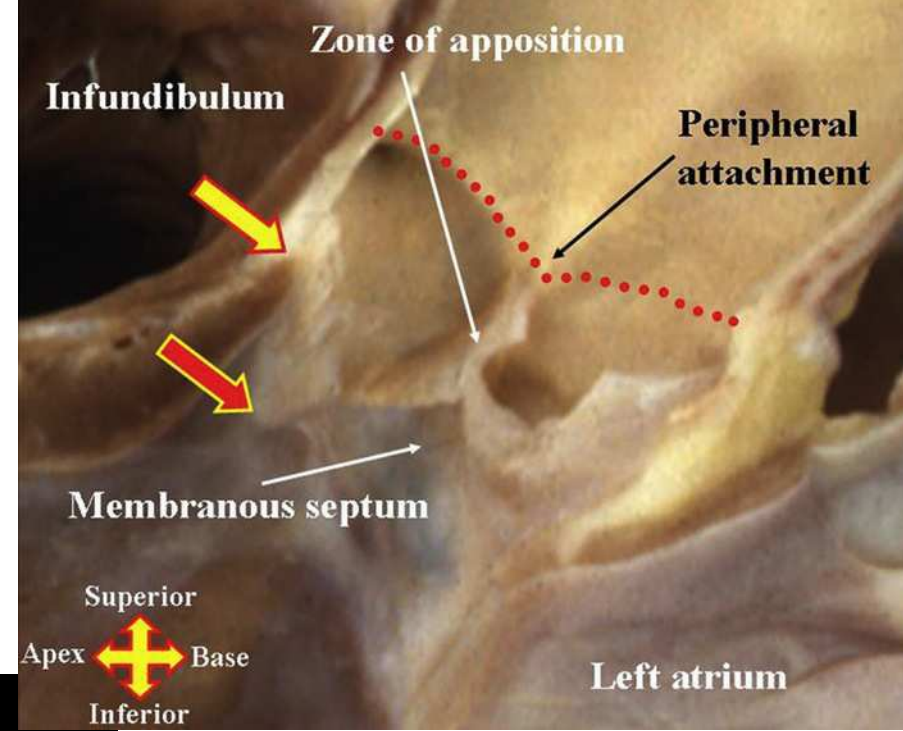
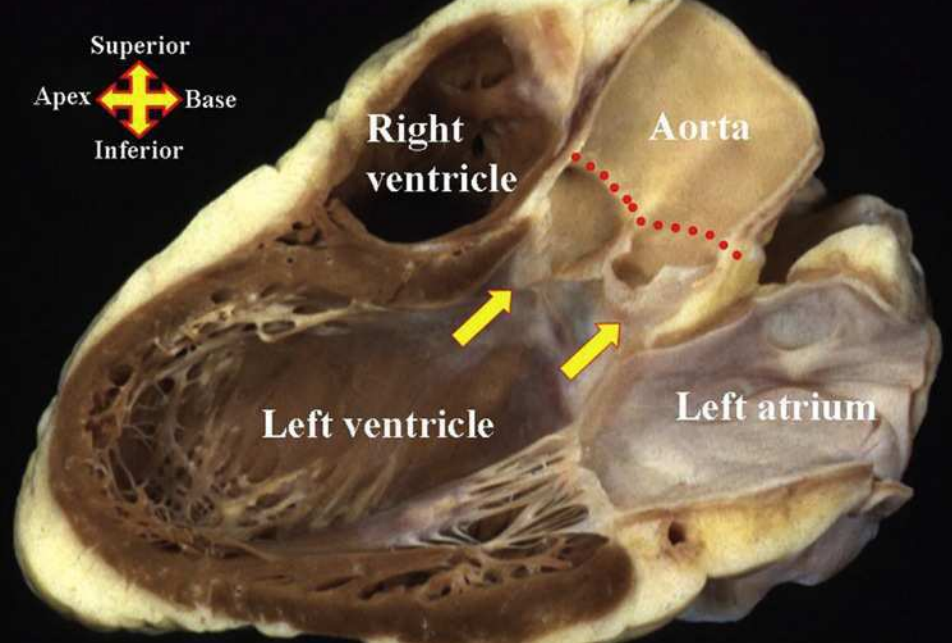
Anatomie de la valve aortique

- +++ Anderson RH. The surgical anatomy of the aortic root. Multimedia Manual of Cardiothoracic Surgery. 2007 Feb. 19;2007(0219):2527–0.

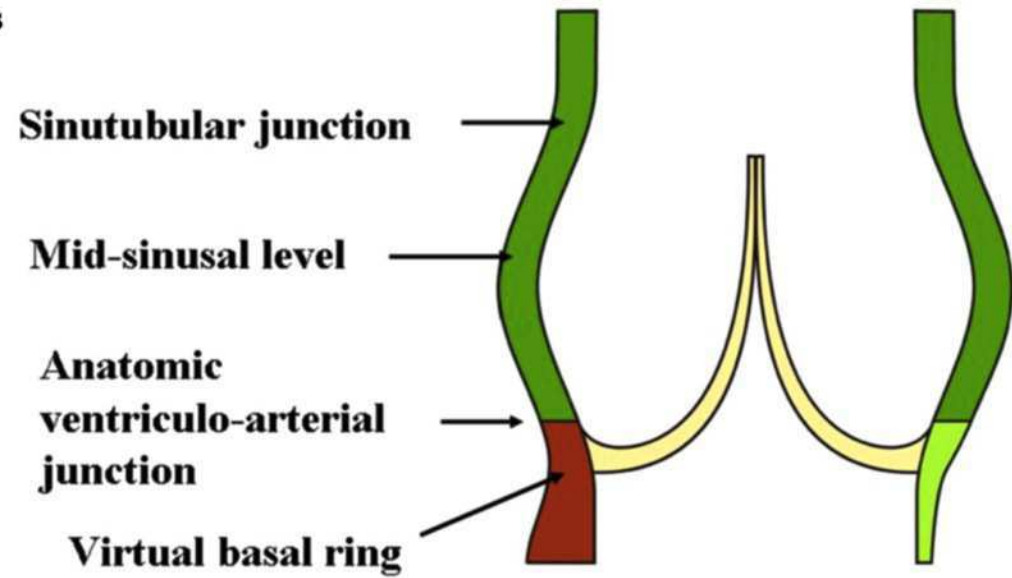
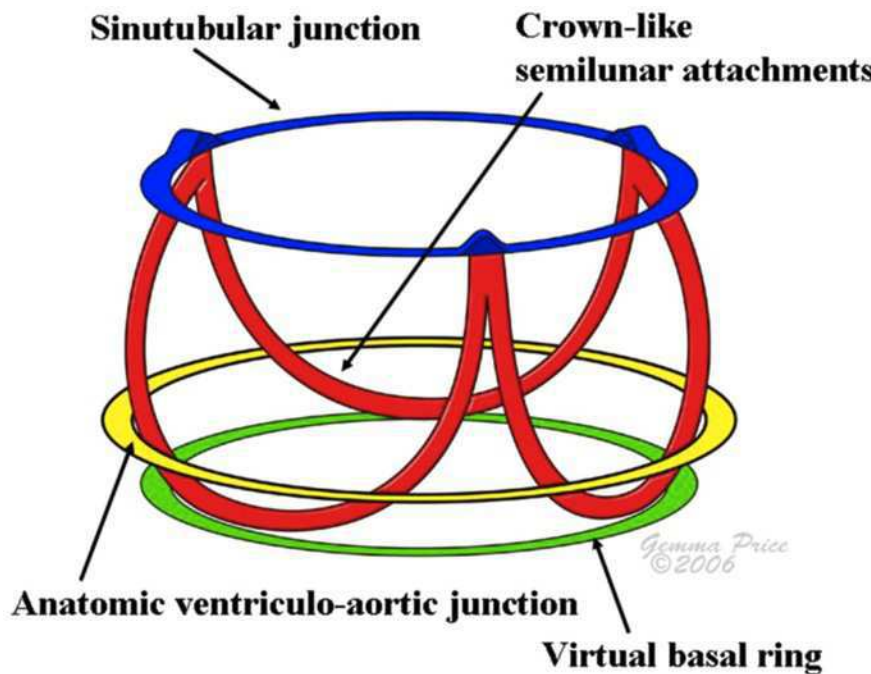
- 3 feuillets (cusps, valvules ou sigmoïdes) / sinus
 - Postérieur (non coronaire)
 - Antérieur gauche (coronaire gauche)
 - Antérieur droit (coronaire droit)

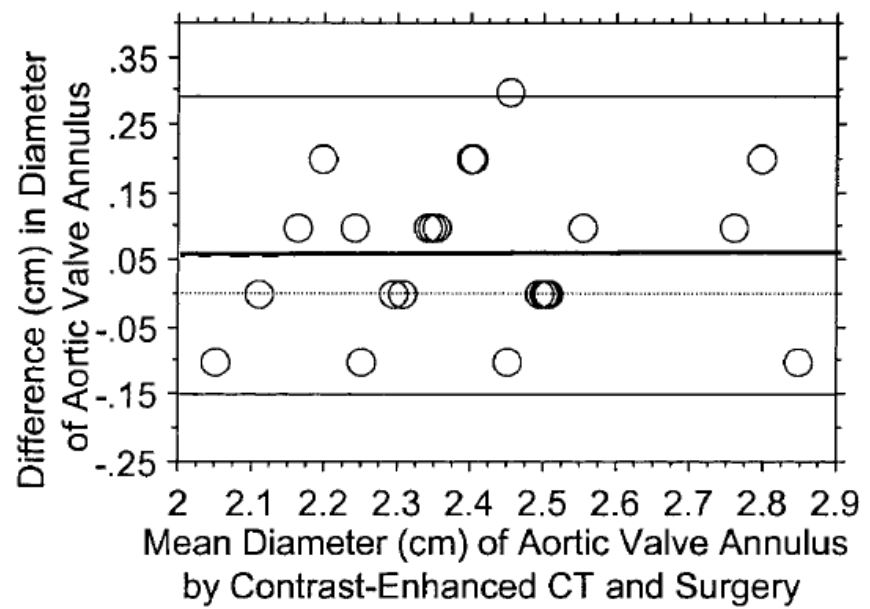
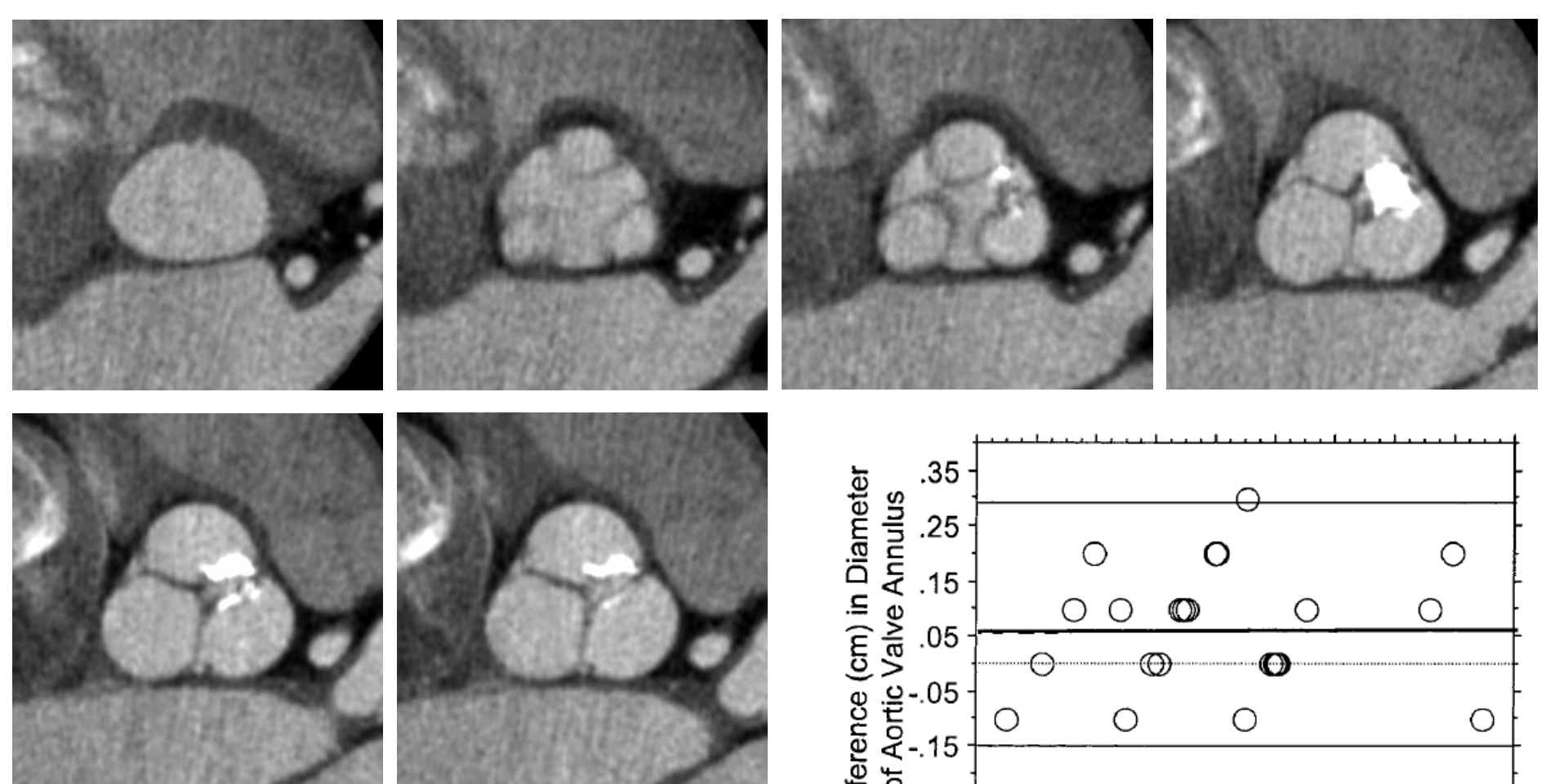






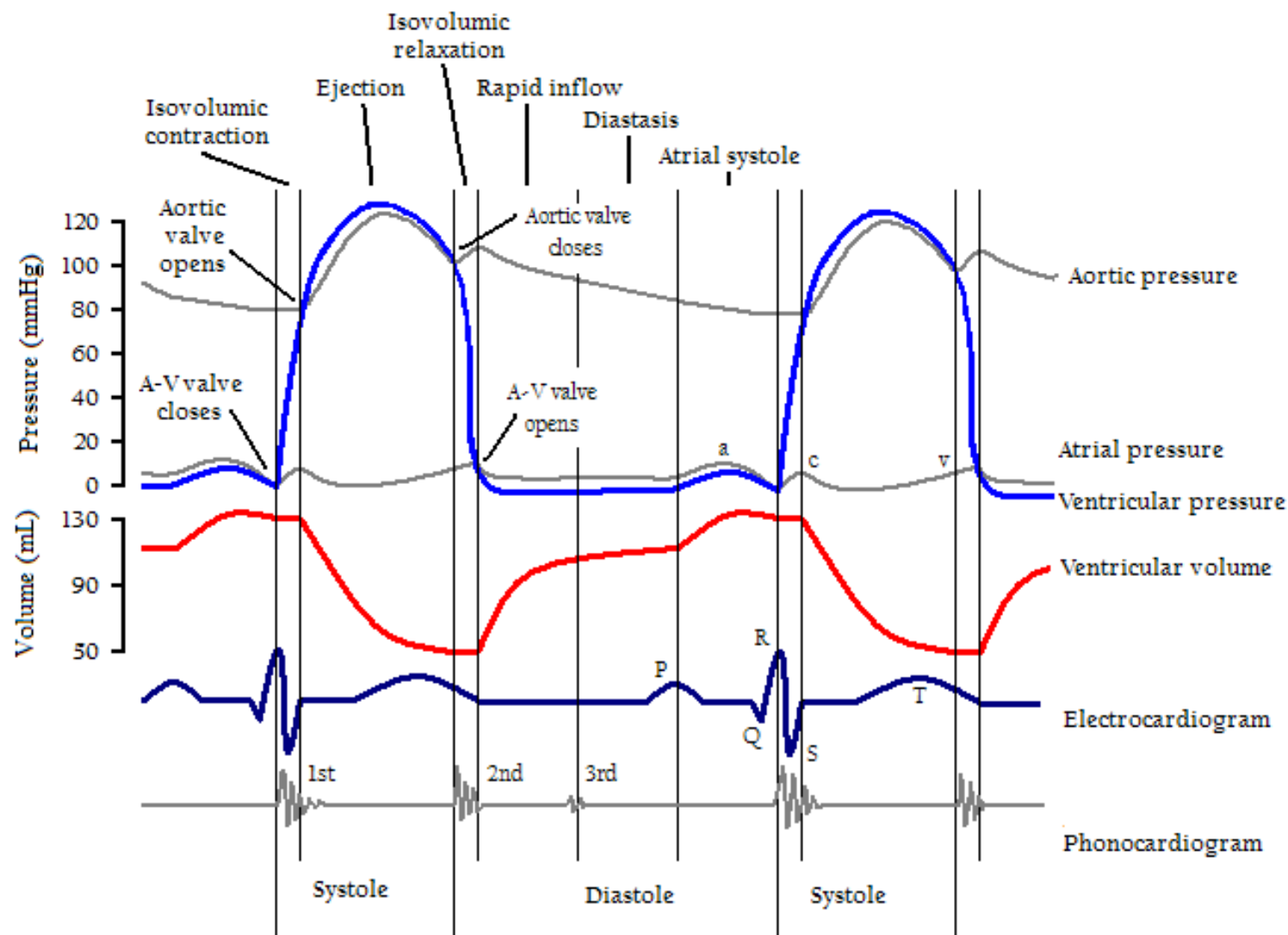
La racine aortique





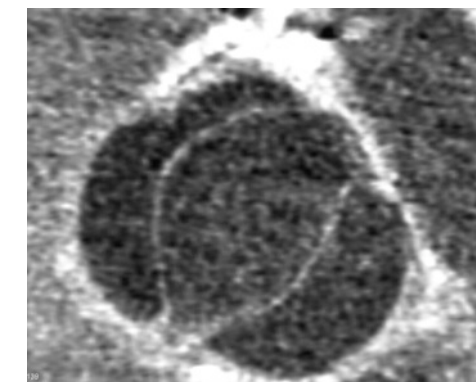
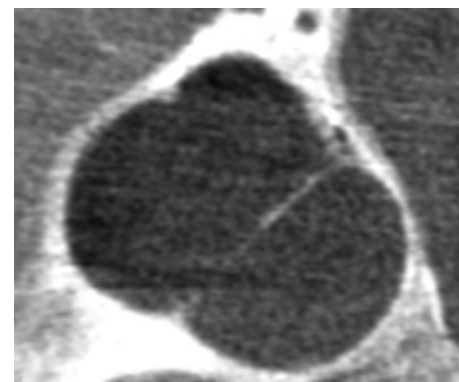
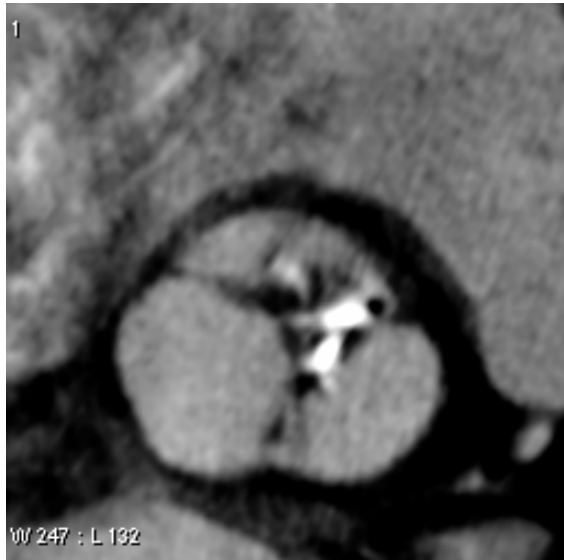
Willmann JK et al. Electrocardiographically Gated Multi-Detector Row CT for Assessment of Valvular Morphology and Calcification in Aortic Stenosis. Radiology. 2002 Aug; 225(1):120–128.

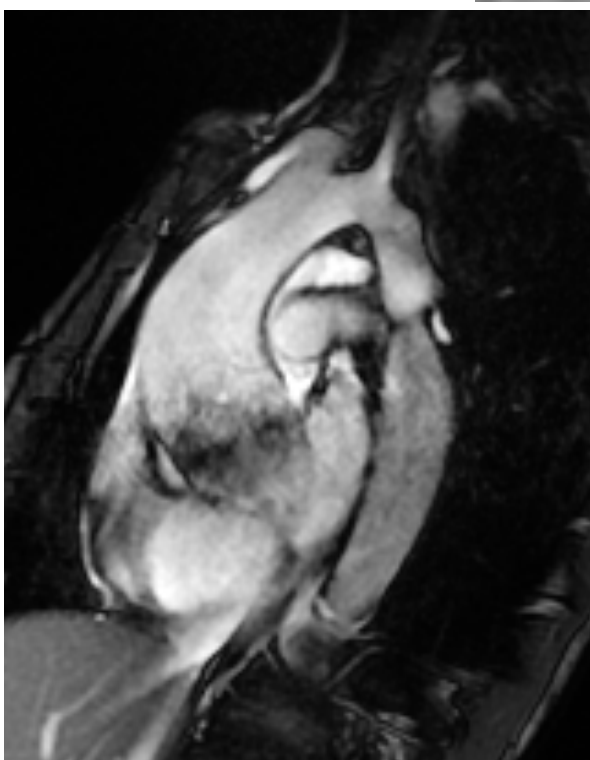
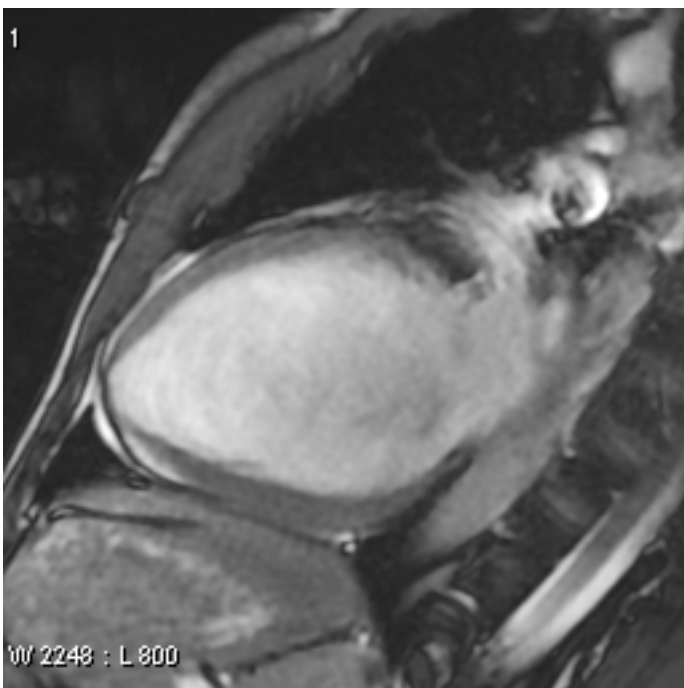
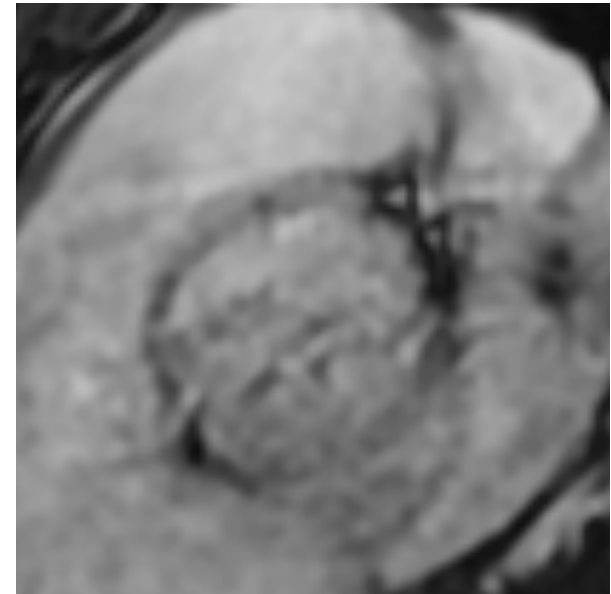
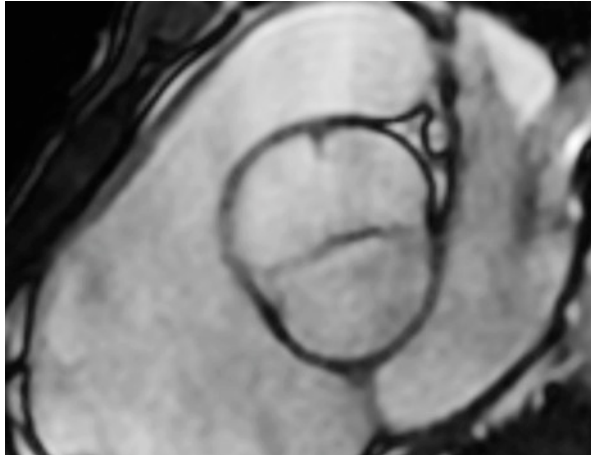
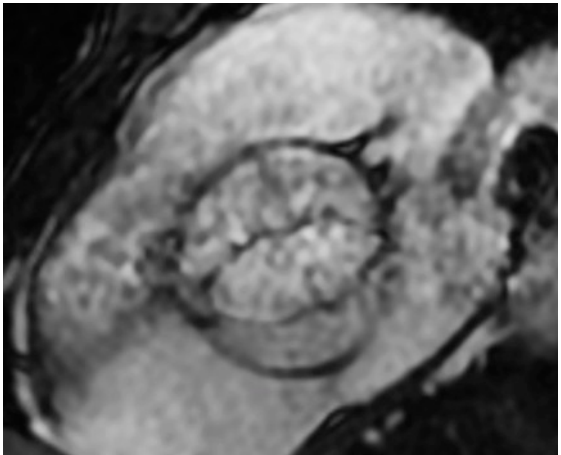
Physiologie



Bicuspidie aortique

- Fausse : 3 cusps (et commissures dont un raphé)
- Vraie : 2 cusps



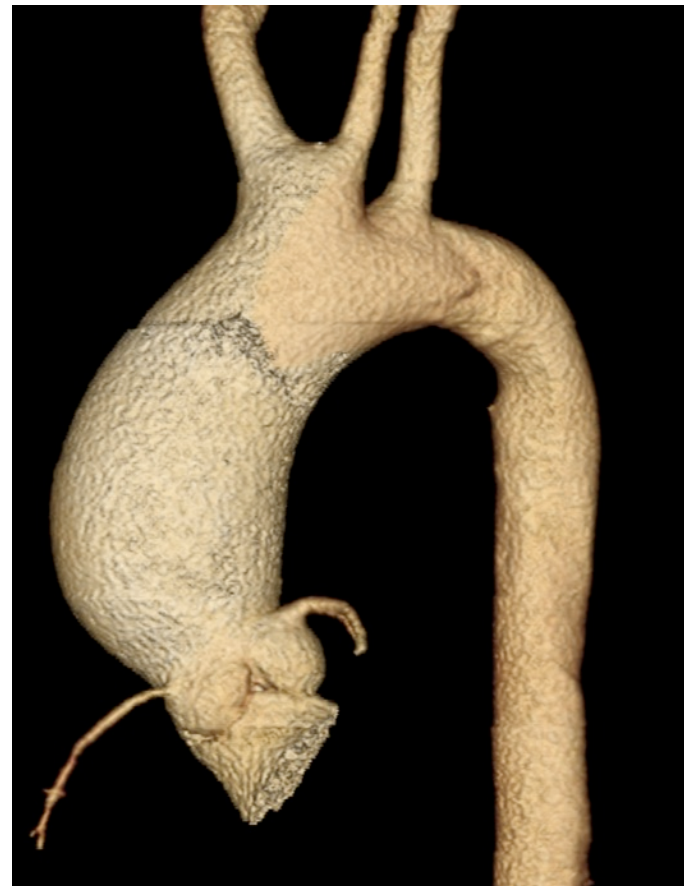
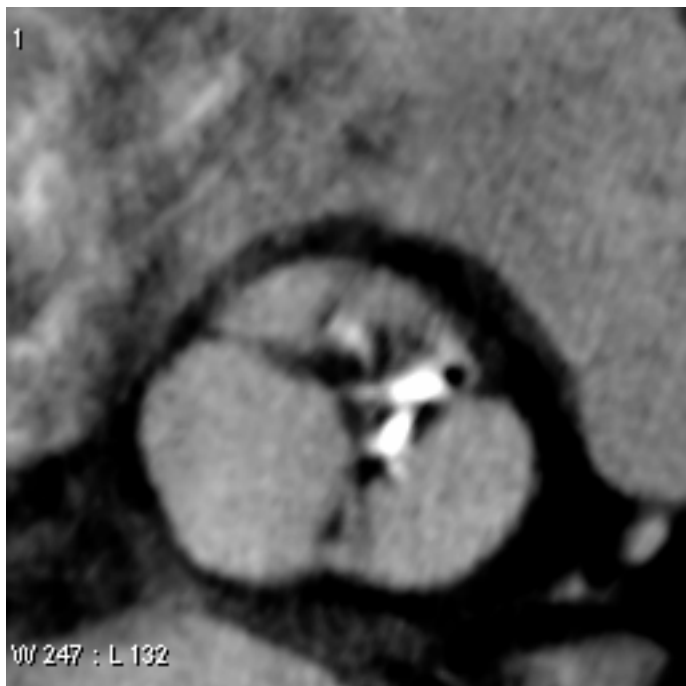


Bicuspidie

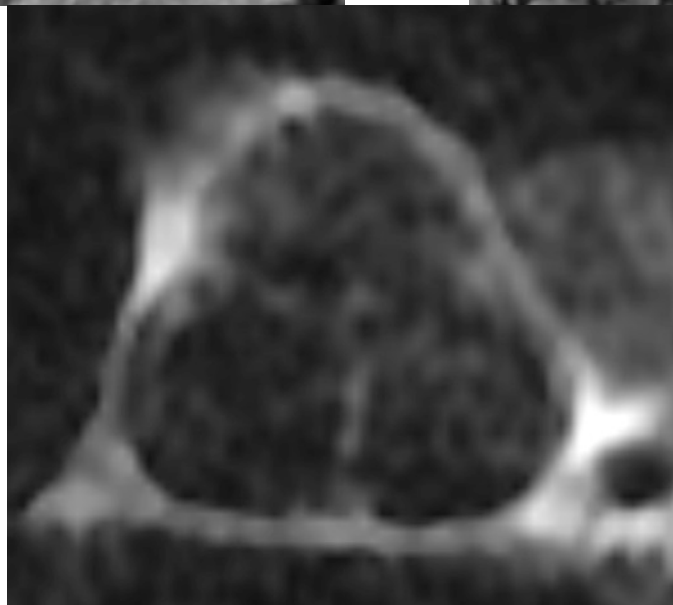
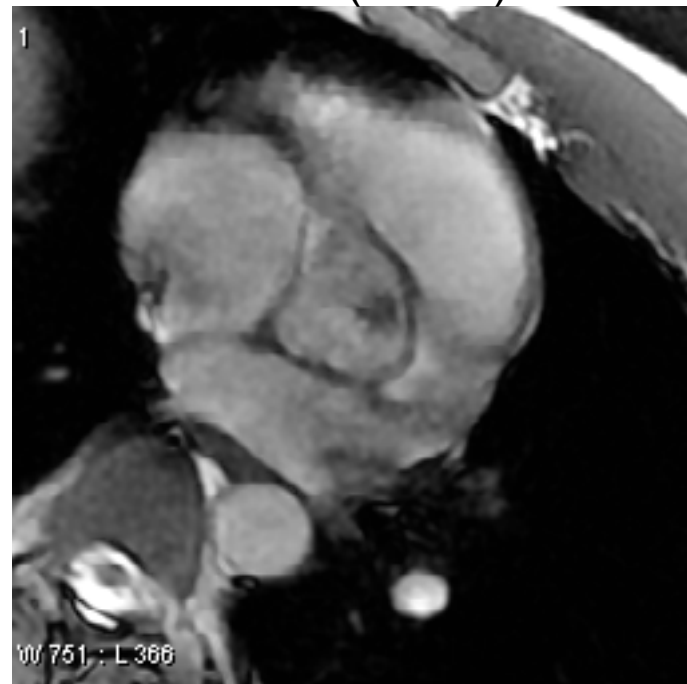
Souvent isolée

Association à :

- Anévrysme de l'aorte ascendante
- Coarctation
- Anévrismes artériels cérébraux
- Turner



SSFP (Fiesta)



DIR-FSE (« sang noir »)

Insuffisance aortique

- Définition
 - Incontinence des feuillets valvulaires aortiques en diastole
⇒ régurgitation dans le VG d'une fraction du volume sanguin éjecté
 - ⇒ Dilatation VG et hypertrophie (sauf si IA aiguë)
⇒ Insuffisance cardiaque
 - ⇒ En aval : augmentation de la PAS et chute de la PAD, pour maintenir le débit
⇒ Insuffisance coronarienne fonctionnelle

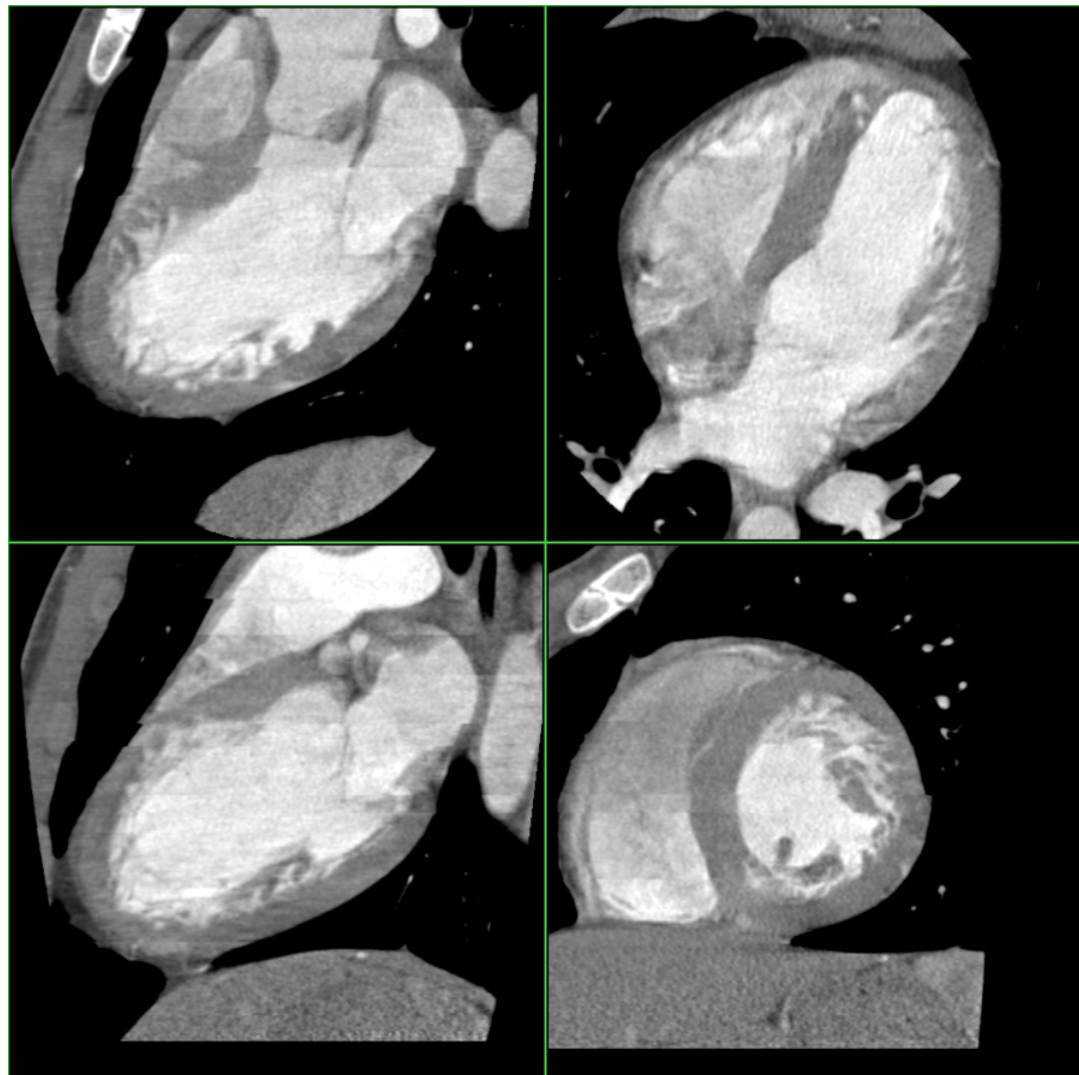
Table 16. Natural History of Aortic Regurgitation

Asymptomatic patients with normal LV systolic function ^{268–277}	
Progression to symptoms and/or LV dysfunction	Less than 6% per y
Progression to asymptomatic LV dysfunction	Less than 3.5% per y
Sudden death	Less than 0.2% per y
Asymptomatic patients with LV dysfunction ^{281–283}	
Progression to cardiac symptoms	Greater than 25% per y
Symptomatic patients ^{284–288}	
Mortality rate	Greater than 10% per y

LV indicates left ventricular.

ACC/AHA Guidelines for the management of patients with valvular heart disease

Imagerie de la valve aortique - Damien Mandry - CHU Nancy Brabois



IA : étiologies

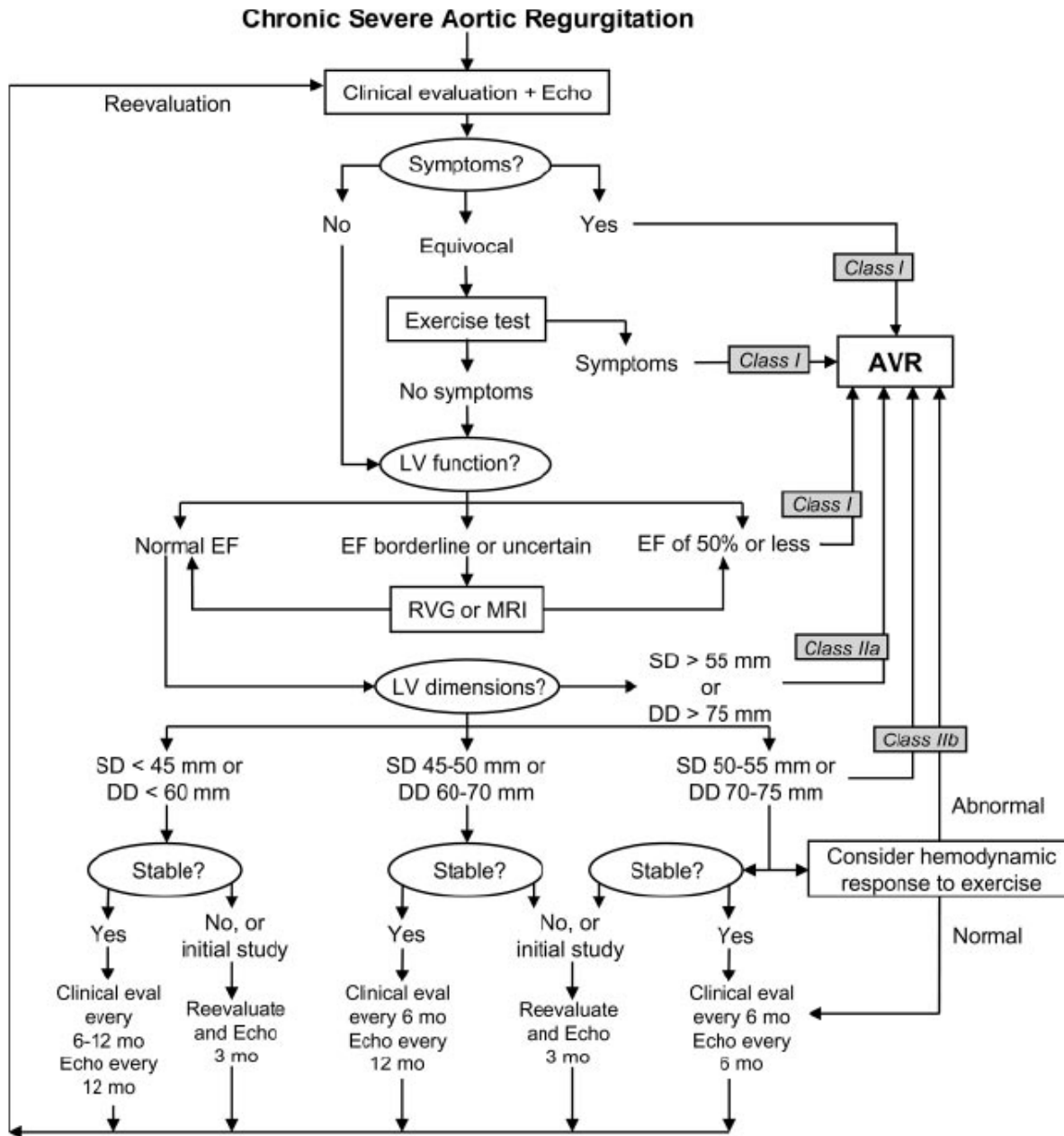
- IA aiguë
 - Endocardite
 - Dissection
 - Traumatisme thoracique
- IA chronique
 - Maladie annulo-ectasiante
 - RAA
 - Endocardite
 - Congénitale (bicuspidie)
 - Aortite (syphilis, SAA, polyarthrite rhumatoïde...)

IA : Diagnostic

- **Signes fonctionnels** (peu spécif. et tardifs):
 - Asthénie, fatigabilité à l' effort
 - Dyspnée d' effort voire de repos (IC)
 - Douleur angineuse
- **Signes cliniques:**
 - Souffle diastolique maximum au foyer aortique, irradiant le long du bord G du sternum, timbre doux et humé
 - Signes périphériques:
 - Elargissement de la PA différentielle
 - Hyperpulsatilité artérielle
 - Signes d' insuffisance cardiaque
- **Examens complémentaires:** Echocardiographie +++

IA : Traitement

- **TTT médical :**
 - Régime hyposodé et diurétiques
 - IEC
 - Prévention de l' endocardite
- **TTT chirurgical :**
 - Remplacement valvulaire aortique +/- remplacement de l'aorte ascendante (intervention de Bentall)
 - Si l'Ao symptomatique ou altération de la fonction VG
 - Survie : 50-60% à 10 ans



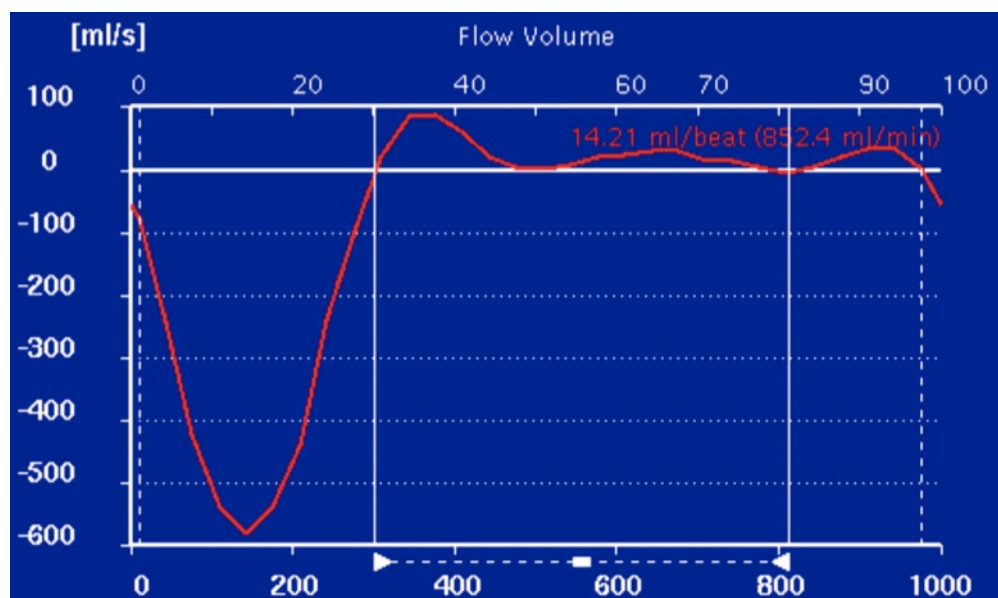
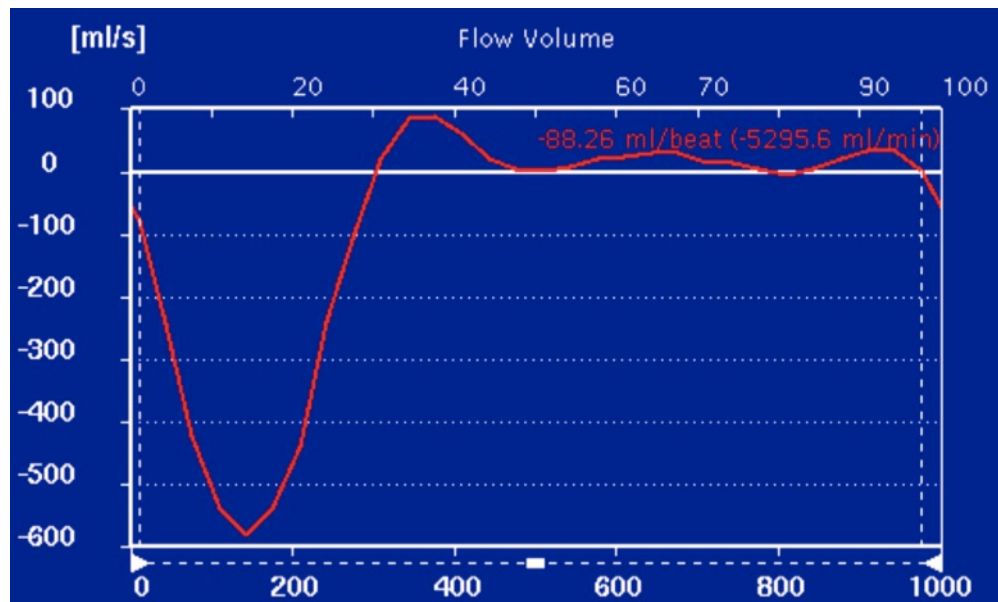
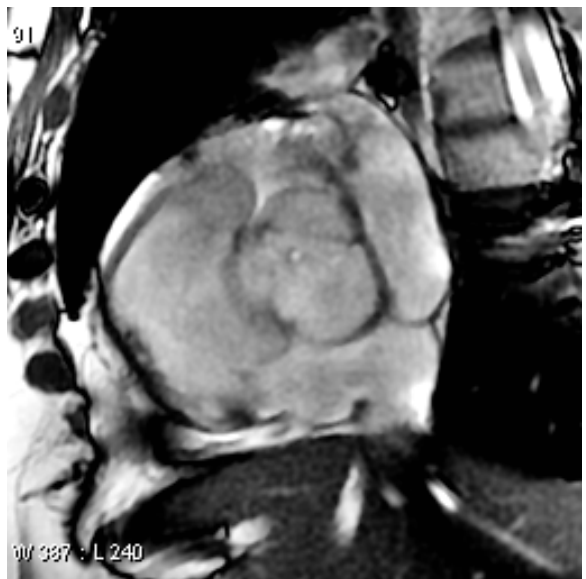
Quantification



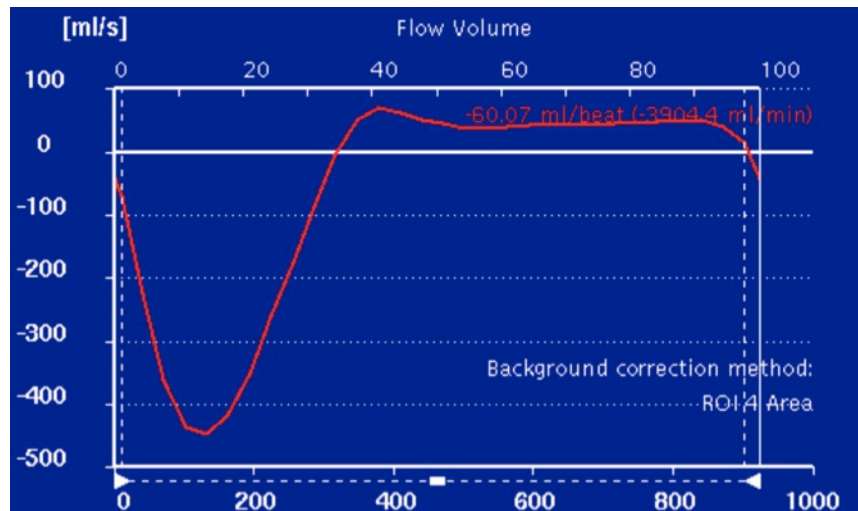
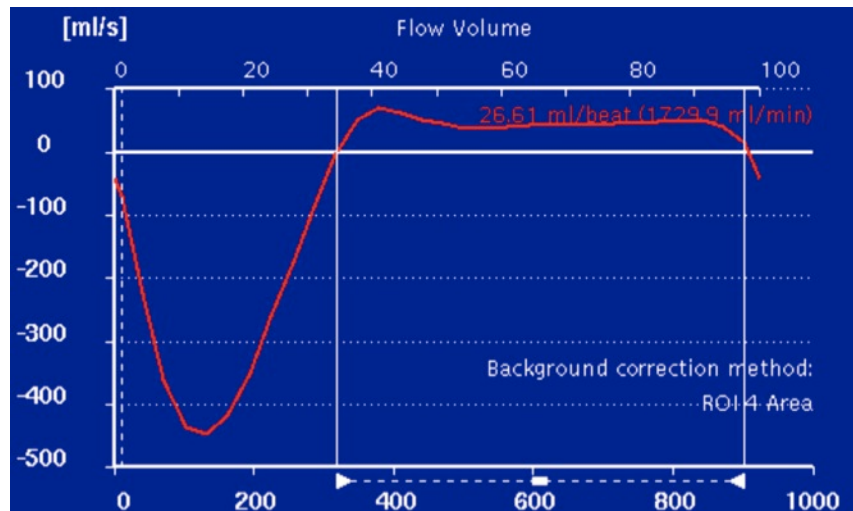
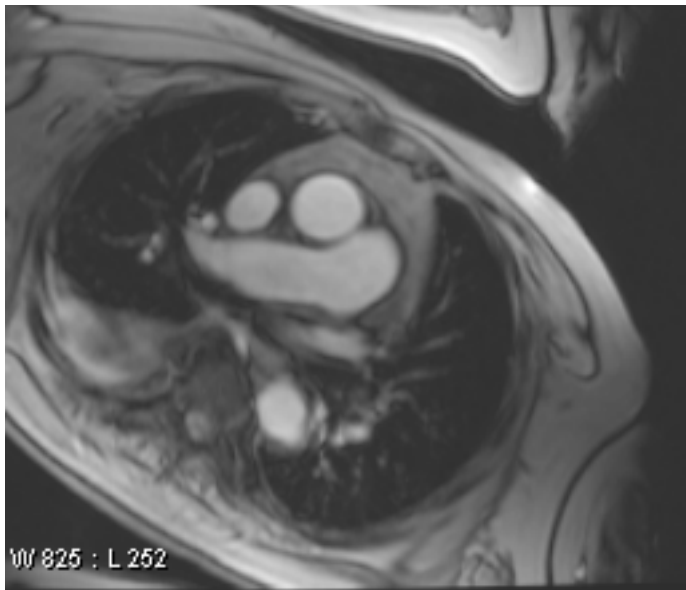
Scanner

Planimétrie ±

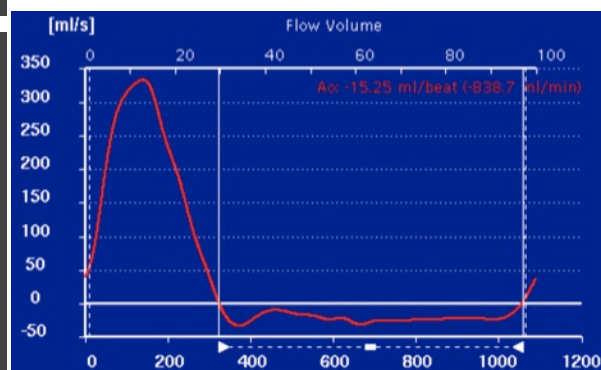
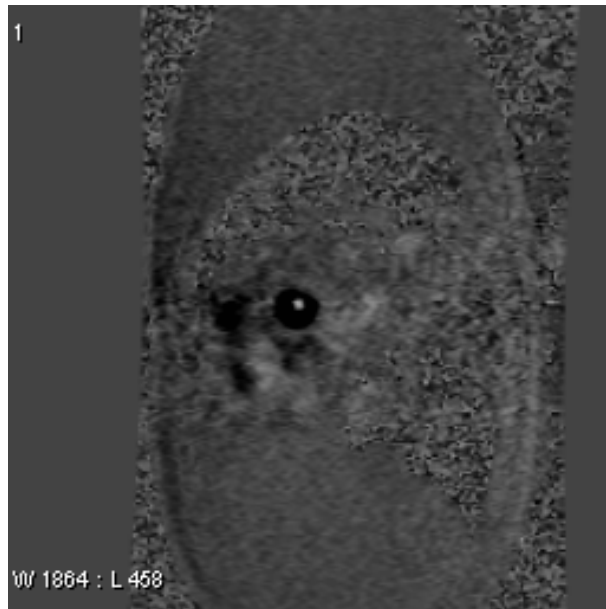
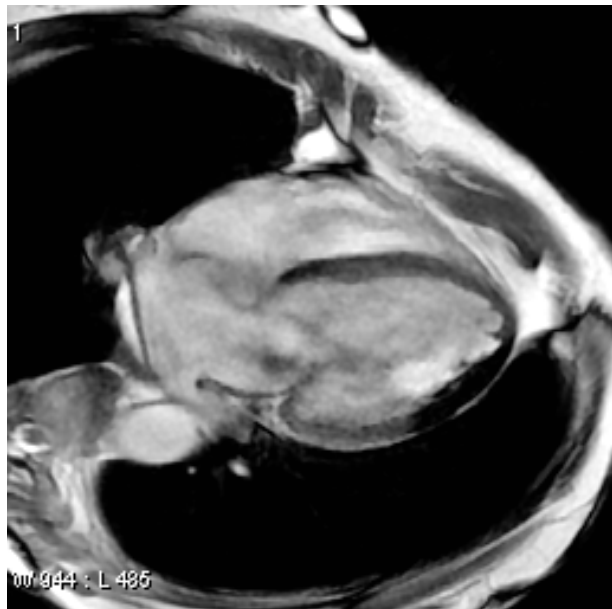
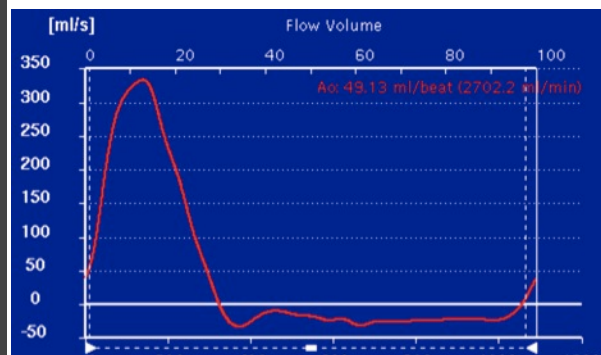
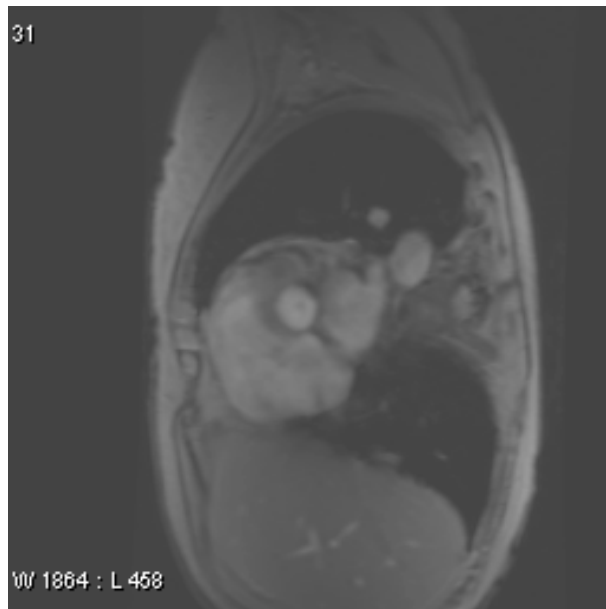
IRM



IRM : contraste de phase



IRM



Rétrécissement aortique

- Définition
 - Diminution de l' orifice d' ouverture
⇒Obstacle à l' éjection du VG -> augmentation de la post-charge
 - ⇒Hypertrophie VG, puis dilatation à un stade plus évolué
 - Surface aortique normale $\sim 3 \text{ cm}^2$
 - RA serré $<0,8\text{cm}^2$

RA : Etiologies

- **RAo dégénératif:**
 - Dégénérescence liée à l' âge
 - Fréquence +++, >70 ans
 - Calcifications valvulaires avec perte de souplesse et de mobilité
 - = maladie de Monckeberg
- **RAo post RAA**
 - + rare de nos jours en France
 - Svt associé à d' autres valvulopathies
 - Adulte jeune le + svt
 - Fusion des commissures et rétraction des valves
- **RAo congénital**
 - 15% des cas
 - Atteinte Valvulaire (bicuspidie ++), supraV, sousV

RA : Diagnostic

- **Signes fonctionnels:**
 - Asymptomatique → découverte fortuite
 - SF=RAo serré, symptôme à l' effort
 - Syncopes ou lipothymies
 - Angor
 - Dyspnée
- **Signes cliniques:**
 - Souffle systolique, foyer aortique, râpeux, irradiant vers les carotides
 - Recherche de signes d' insuffisance cardiaque
- **Examens complémentaires:**
 - Echocardiographie +++ : confirmation et diagnostic de sévérité
 - ECG, RP, cathétérisme cardiaque

RA : Evolution

- Tout RAo serré a un pronostic sévère même asymptomatique
- En cas de symptômes survie sans TTT allant de 2 à 5 ans
(mort subite 1/3)
- Surveillance régulière nécessaire car l' évolution vers un RAo serré peut être rapide
- Complications:
 - Endocardite infectieuse
 - Embolie calcaire (coronaire, oculaire, artérielles périphériques)
 - TDR
 - IDM

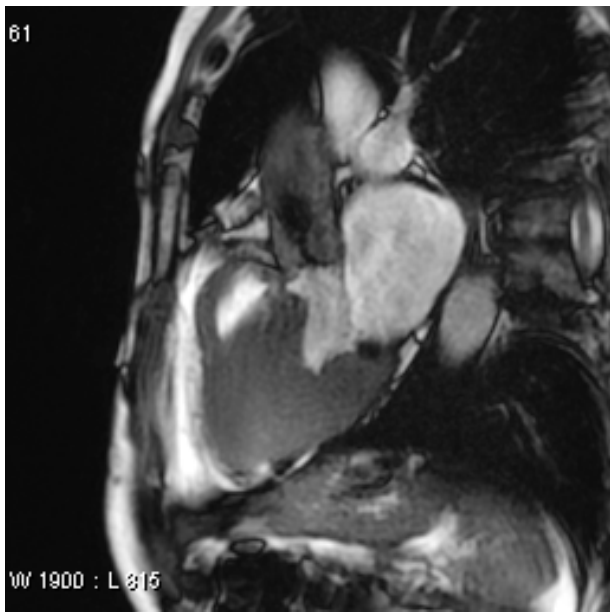
RA : Traitement

- Seul efficace = RVA (chirurgie ou TAVI)
- Mortalité opératoire entre 5-10%
- Survie 70% à 5 ans.
- Prévention de l' endocardite



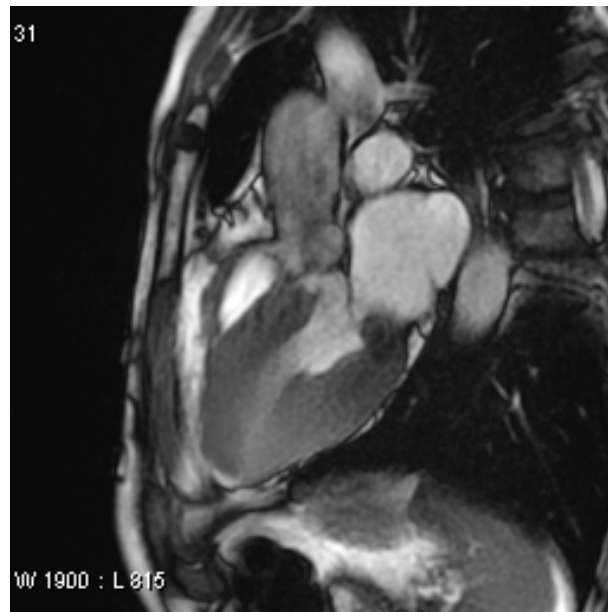
Quantification RA

61



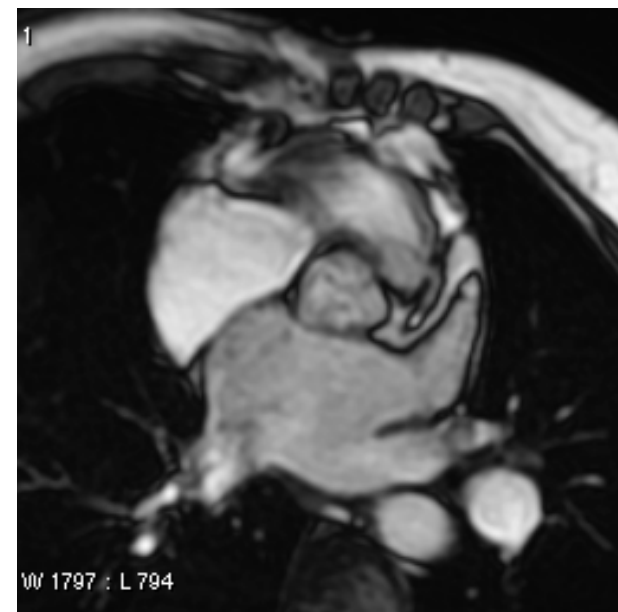
W 1900 : L 815

31



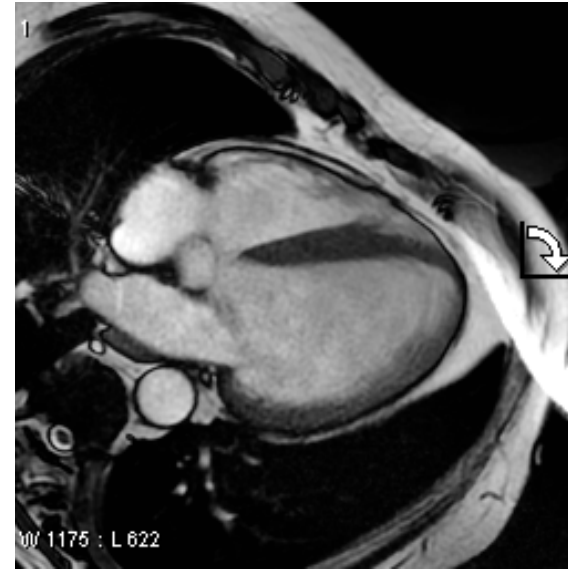
W 1900 : L 815

1



W 1797 : L 794

IRM : planimétrie



IRM : contraste de phase

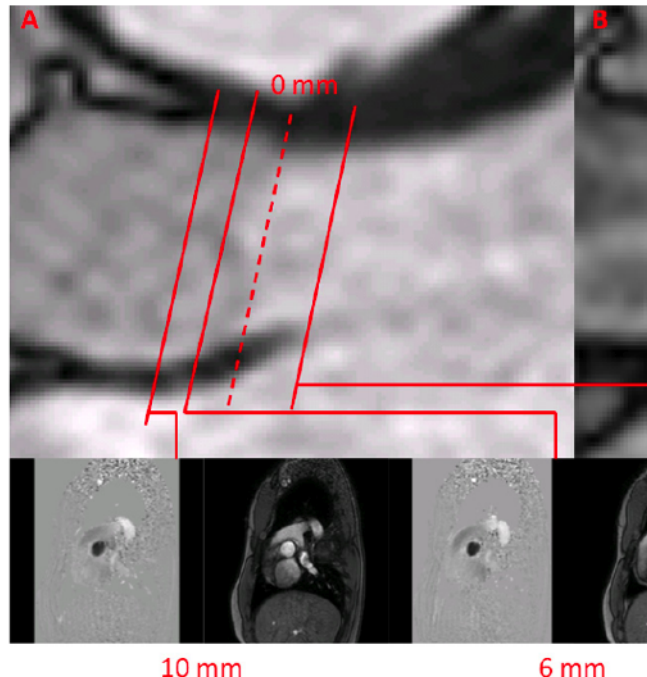


Figure 1 Image planes used for CMR measurements. Panel A shows the fl upstream from aortic valve plane (used as the 0 mm reference) and at +6 and +10 sectional area of the LVOT is measured at the -12 mm position. Panel B shows the

Garcia J, Kadem L, Larose E, Clavel M-A, Pibarot P. Comparison k Transthoracic Doppler Echocardiography for the Estimation of Eff Magn Reson. 2011 Apr; 28;13(1):25.

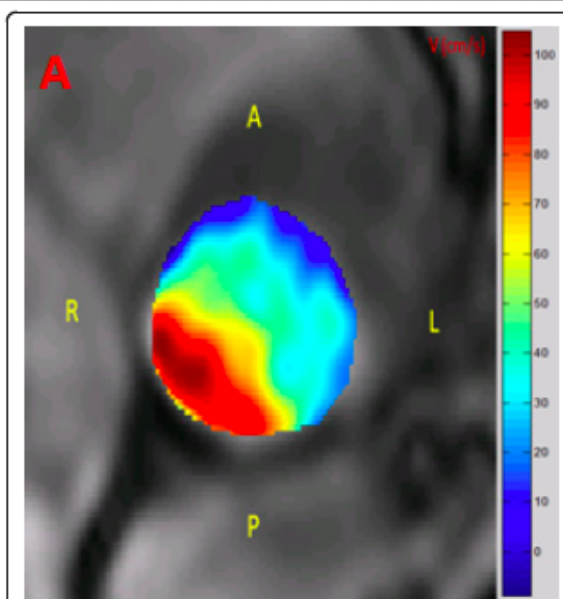


Figure 4 Flow velocity profile obtained by CMR in the LV outflow tract (LVOT). The figure shows the flow velocity profile within the LVOT in a patient with AS. Panels A and B show the 2D and 3D flow velocity profile.

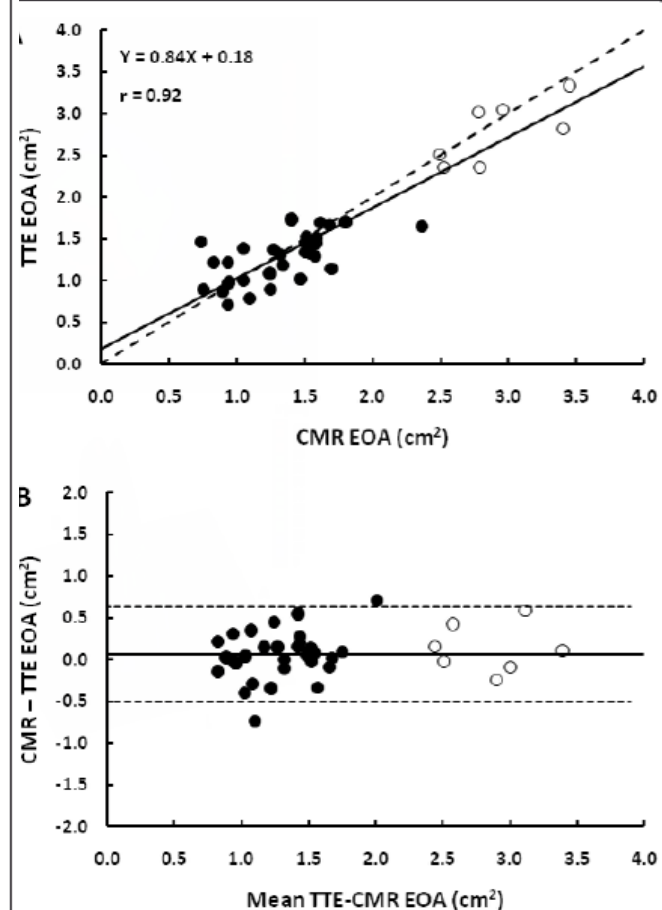


Figure 5 Comparison of valve effective orifice area (EOA) measured by TTE versus by CMR. Panel A shows the Pearson correlation plot. The solid line is the regression line and the dashed line is the identity line. Panel B shows the Bland-Altman plot. The solid line is the mean bias and dashed lines are ± 1.96 standard deviations lines.

Table 2. Select Studies Validating Indices of Aortic Stenosis by CMR

First Author (Year)	Principle	Reference Standard	n	r	Mean Difference ± 1 SD (CMR-Echo)	CMR Reproducibility*: Mean Difference ± 1 SD
Velocity/gradients						
Kilner ²³ (1993)	\dot{V}_{\max}	TTE	26†	...	-0.10 ± 0.46 m/s	0.11 ± 0.29 m/s‡
Eichenberger ²⁴ (1993)	peak ΔP	TTE	15	...	2.6 ± 13.3 mm Hg	...
Sondergaard ²⁵ (1993)	mean ΔP			0.96	-0.6 ± 8.5 mm Hg	...
Caruthers ²⁶ (2003)	\dot{V}_{\max}	TTE	12	...	-0.88 ± 0.91 m/s	...
	peak ΔP	TTE	24	0.82	...	$r=0.94\$$
	mean ΔP			0.87		
Physiological valve area						
Caruthers ²⁶ (2003)	continuity equation	TTE	24	0.83	...	$r=0.94\$$
Anatomic valve area						
John ²⁷ (2003)	planimetry	TEE	40	0.96	0.02 ± 0.08 cm ² ¶	0.07 ± 0.06 cm ² ‡
Kupfahl ²⁸ (2004)	planimetry	TEE	32	...	0.02 ± 0.21 cm ²	0.05 ± 0.04 cm ² #
Debl ²⁹ (2005)	planimetry	TEE	25	0.86	0.13 ± 0.16 cm ² ¶	0.03 ± 0.05 cm ² ‡
Reant ³⁰ (2006)	planimetry	TEE	39	0.58	0.01 ± 0.14 cm ² (Echo-CMR)	-0.02 ± 0.06 cm ² #
Schlosser ³¹ (2007)	planimetry	TEE	32	0.82	0.15 ± 0.13 cm ²	0.03 ± 0.14 cm ² #
						0.02 ± 0.07 cm ² #
						$0.75^{**\dagger}$

n Indicates sample size; TTE, transthoracic echocardiography; peak ΔP , peak pressure gradient; mean ΔP , mean pressure gradient; and TEE, transesophageal echocardiography.

If not stated in the publication, statistics were calculated from the data provided in the manuscript. If this was not performed or data were not provided, a designation of "not available" (...) was given.

*Reported as mean difference ± 1 SD; if not available, the statistical test provided by the author is stated.

†This analysis included 17 aortic stenosis and 9 mitral stenosis measurements.

‡Interobserver reproducibility.

§Interstudy reproducibility.

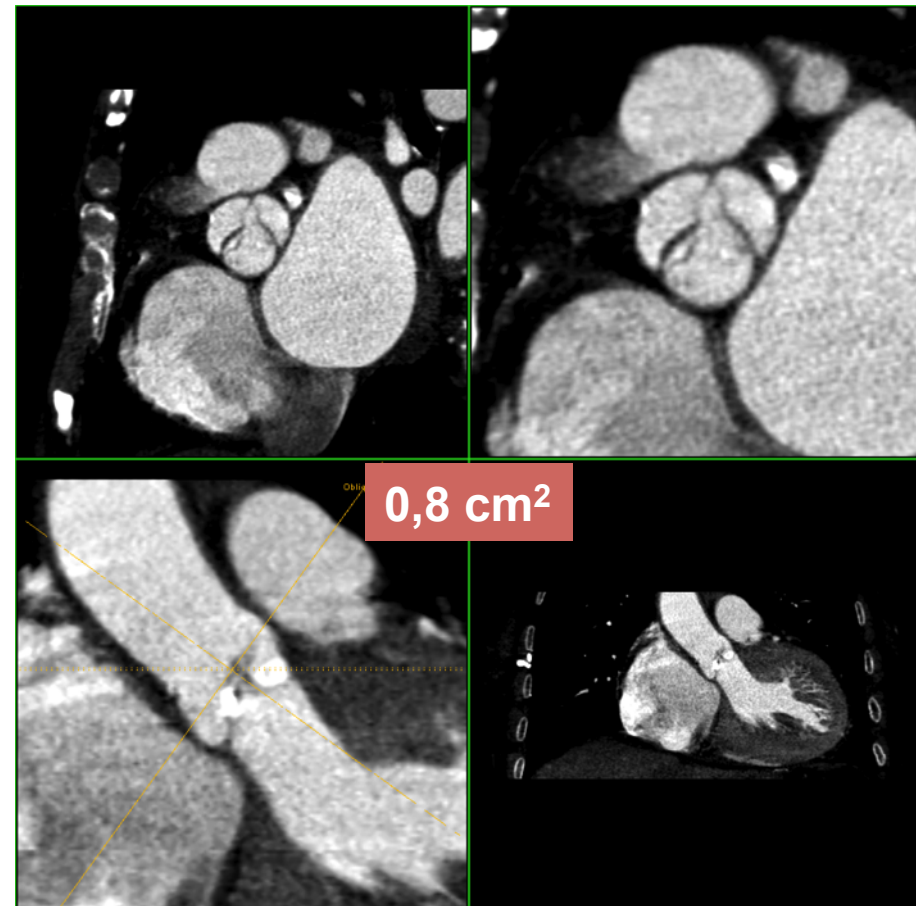
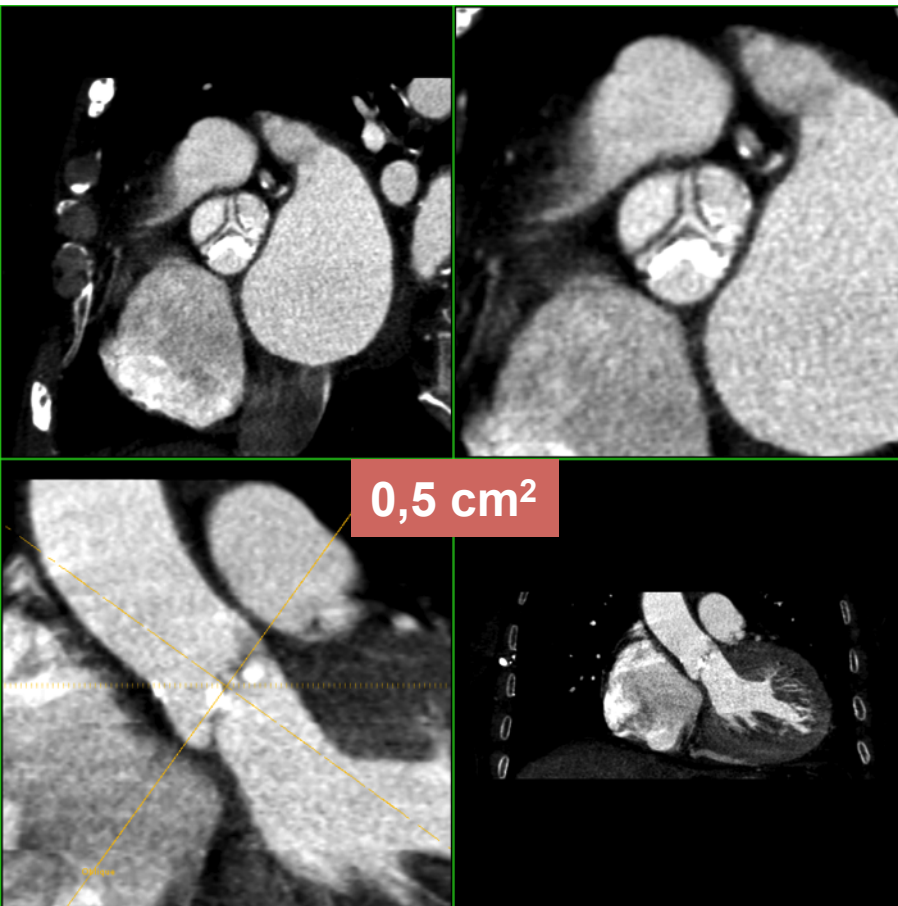
||Cine MRI pulse sequence was gradient echo; the other planimetry studies used an SSFP cine sequence.

¶Mean absolute difference.

#Intraobserver reproducibility.

**Kendall's statistic.

Quantification RA : CT



Attention aux points de mesures !!!

Rôle du scanner : bilan pré ttt +++

- (Planimétrie)
- Évaluation des amas calciques
- Critères d' opérabilité
 - Voies d' abord
 - Taille de l' anneau

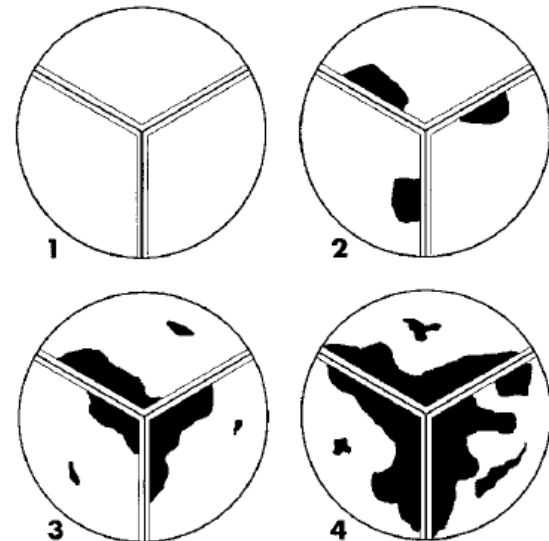
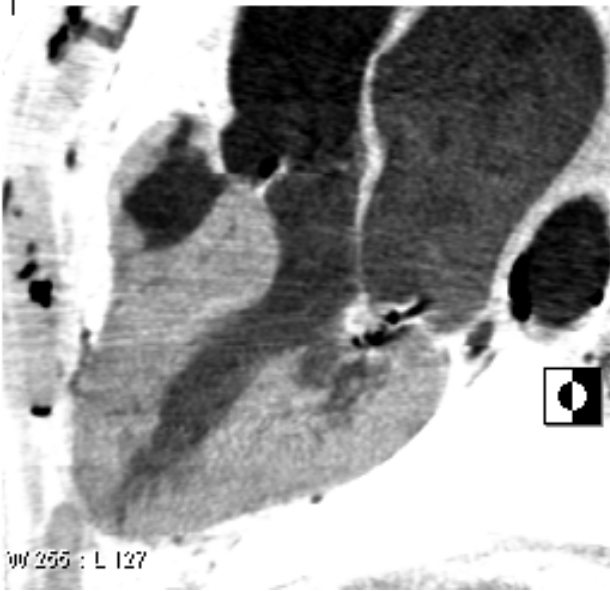
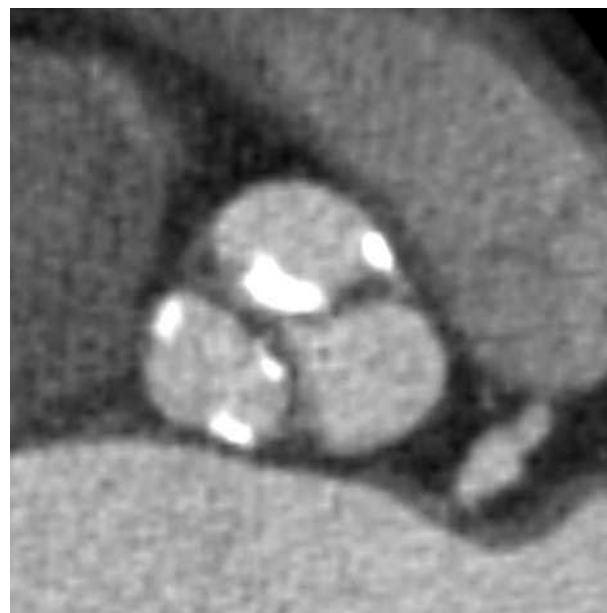
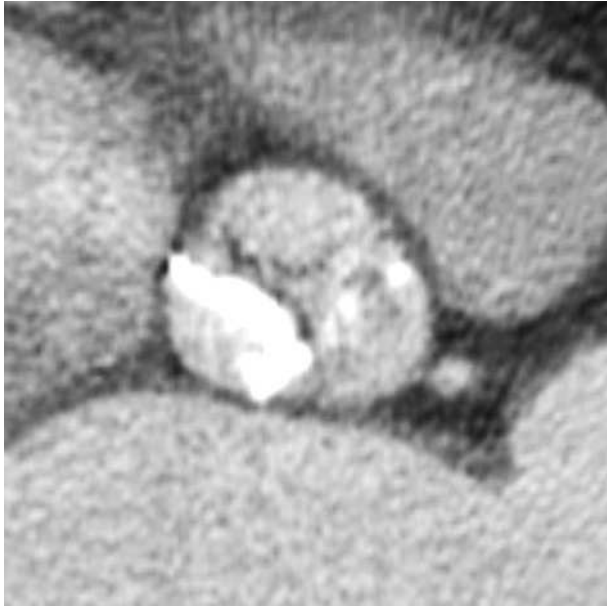
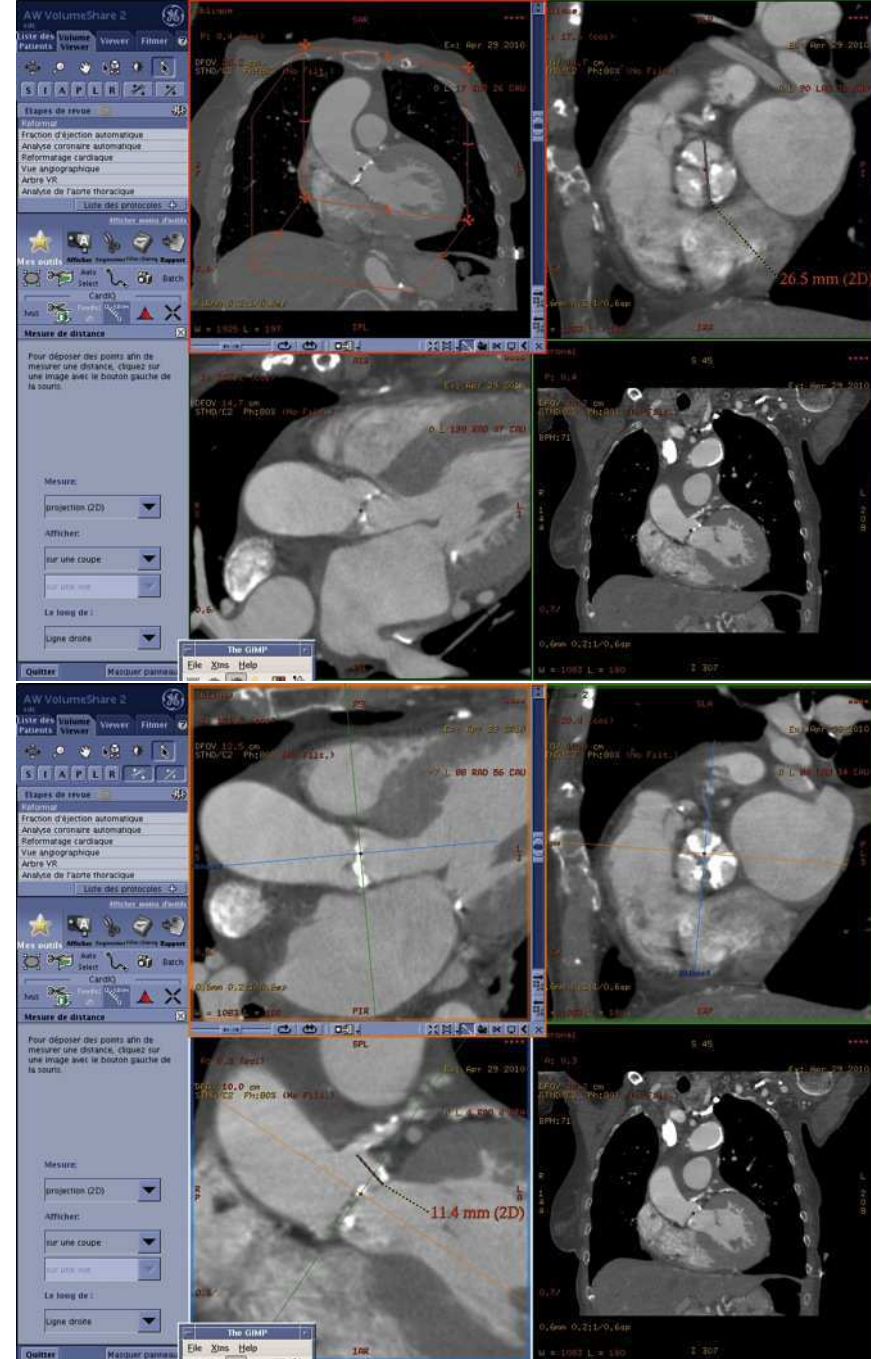
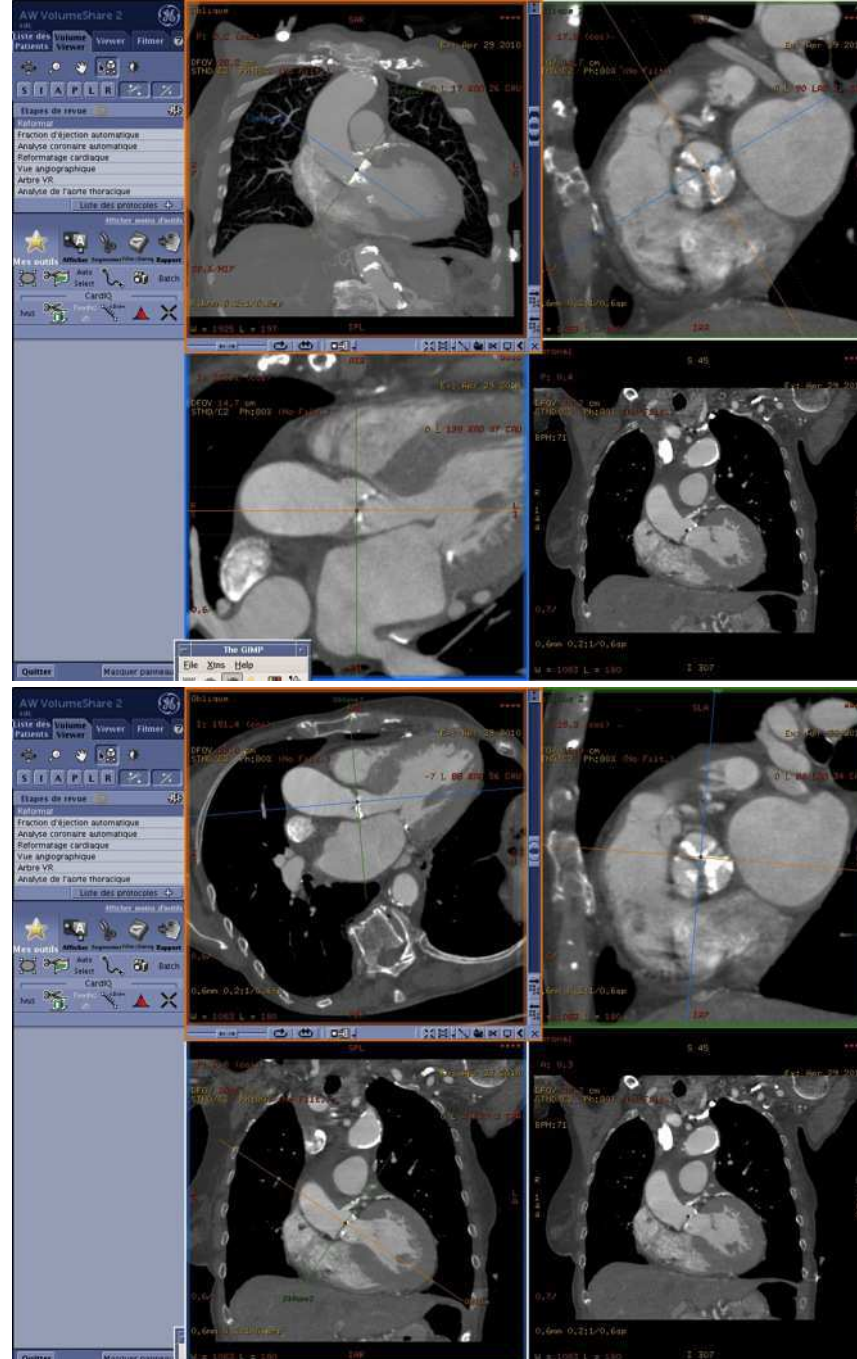


Figure 1. Diagrams of different grades of aortic valve calcification. Grade 1 (1), no calcification; grade 2 (2), mild calcification (small isolated spots of calcification); grade 3 (3), moderate calcification (multiple larger spots of calcification); and grade 4 (4), heavy calcification (extensive calcification of all aortic valve leaflets).



Bilan avant TAVI

- Mesures :
 - Anneau aortique
 - Sinus de Valsalva
 - Jonction sino-tubulaire
 - Maximum Ao ascendante
 - Minimum Ao abdominale
 - Minimum artères iliaques
 - Angulation des artères iliaques
 - Hauteur des ostia coronaires par rapport au plan annulaire
- Extension des calcifications
 - Valve aortique
 - Aorte et iliaques
- dépistage autre pathologie



Points clés

- Scanner : morphologie
 - Évaluation IA ou RA : planimétrie
 - Évaluation retentissement IA ou RA ±
 - Dilatation et /ou hypertrophie VG
 - Dilatation Ao
 - Bilan pré-opératoire ++
- IRM : fonction
 - Évaluation IA ou RA : subjective, planimétrie, contraste de phase
 - Évaluation retentissement IA ou RA ++
 - Dilatation et /ou hypertrophie VG
 - Dilatation Ao
 - Recherche de fibrose associée